

УДК 532.517.013.4:536.252

ТОЧНЫЕ РЕШЕНИЯ ЛИНЕАРИЗОВАННЫХ УРАВНЕНИЙ КОНВЕКЦИИ СЛАБО СЖИМАЕМОЙ ЖИДКОСТИ

О. Н. Гончарова

Алтайский государственный университет, 656099 Барнаул

E-mail: gon@math.dcn-asu.ru

Рассматривается математическая модель конвекции жидкости в условиях слабой гравитации. Уравнение состояния принимается в виде, позволяющем рассматривать жидкость слабо сжимаемой средой. На основе предложенной ранее математической модели конвекции слабо сжимаемой жидкости изучается нестационарное конвективное движение в вертикальной полосе, на твердых границах которой задается периодический по времени тепловой поток. Эта модель конвекции позволяет изучить задачу в условиях, когда граничный тепловой режим колеблется в противофазе, а не в фазе, что требовалось для модели микроконвекции изотермически несжимаемой жидкости. В работе выписываются точные решения для компонент скорости и температуры и численно выстраиваются траектории движения жидких частиц. Для сравнения приводятся траектории, предписываемые классической моделью конвекции Обербека — Буссинеска и моделью микроконвекции.

Ключевые слова: конвекция, слабо сжимаемая жидкость, периодический тепловой поток.

1. Постановка задачи. Данная работа продолжает исследования конвективных движений теплопроводной жидкости. Различные аспекты математического моделирования и строгого математического обоснования моделей конвекции изложены в известных монографиях [1–4]. Классическими уравнениями конвекции являются уравнения Обербека — Буссинеска. Для исследования конвекции в условиях пониженной гравитации и в микромасштабах используется модель микроконвекции изотермически несжимаемой жидкости, предложенная В. В. Пухначевым (см. [1, 2, 5]). Учет несоленоидальности поля скоростей приводит к появлению небуссинесковских эффектов в течениях жидкостей, особенно ярко проявляющихся при изучении нестационарных задач [6, 7].

При изучении конвекции в замкнутых областях с твердыми непроницаемыми границами замечено, что система уравнений микроконвекции изотермически несжимаемой жидкости допускает корректную постановку начально-краевой задачи только при заданном на границе тепловом потоке с условием нулевого суммарного потока, что представляет собой необходимое условие разрешимости задачи. В работе [5] предложена модель конвекции слабо сжимаемой жидкости, свободная от данного жесткого условия. Вязкость ν и температуропроводность χ считаются постоянными, а уравнение состояния принимается в виде

$$\rho = (1 + \delta p)/(1 + \varepsilon T). \quad (1)$$

Уравнение (1) записано в безразмерной форме. Здесь p , T — отклонения давления и температуры от некоторых равновесных значений p_0 , T_0 ; l — характерный масштаб длины;

Работа выполнена при финансовой поддержке Совета по грантам Президента Российской Федерации для поддержки ведущих научных школ (грант № НШ 902.2003.01).

$v_* = \chi/l$ — скорость; $t_* = l/v_* = l^2/\chi$ — время; $p_* = \rho_0\nu\chi/l^2$ — давление; T_* — температура; ρ_0 — плотность. Два основных малых безразмерных параметра, появляющиеся в задаче, это $\delta = \gamma p_*$ (параметр сжимаемости) и $\varepsilon = \beta T_*$ (число Буссинеска). Действительно, число Буссинеска будет величиной порядка $10^{-5} \div 10^{-3}$ из-за малости температурного коэффициента объемного расширения β даже при значительном (например, 50 К) перепаде температур. Параметр δ , пропорциональный изотермическому коэффициенту сжимаемости γ , будет величиной порядка $10^{-14} \div 10^{-9}$, поскольку для обычных жидкостей $\gamma \in [10^{-10}, 10^{-9}]$ (см. [3, 5]).

Система уравнений гидродинамики в безразмерной форме с учетом (1) записывается следующим образом [5]:

$$\frac{1 + \delta p}{1 + \varepsilon T} \frac{d\mathbf{V}}{dt} = \text{Pr}[\nabla(-p + \bar{\xi} \operatorname{div} \mathbf{V}) + \Delta \mathbf{V}] + \frac{\eta \text{Pr}(1 + \delta p)}{1 + \varepsilon T} \mathbf{g}_0; \quad (2)$$

$$\frac{\delta}{1 + \delta p} \frac{dp}{dt} - \frac{\varepsilon}{1 + \varepsilon T} \frac{dT}{dt} + \operatorname{div} \mathbf{V} = 0; \quad (3)$$

$$\frac{1 + \delta p}{1 + \varepsilon T} \frac{dT}{dt} - \frac{\varepsilon_2 + \varepsilon \varepsilon_1 T}{1 + \varepsilon T} \frac{dp}{dt} = \Delta T + \varepsilon_1 \Phi. \quad (4)$$

Здесь $\text{Pr} = \nu/\chi$ — число Прандтля; $\eta = gl^3/(\nu\chi)$ — параметр микроконвекции; $\varepsilon_1 = \nu v_*/(lc_p T_*) = \nu\chi/(l^2 c_p T_*)$; $\varepsilon_2 = \varepsilon \varepsilon_1 T_0/T_* = \beta \nu \chi T_0/(l^2 c_p T_*)$; c_p — теплоемкость жидкости при постоянном давлении; $\bar{\xi} = 1 + \xi$, $\xi = \lambda/(\rho_0\nu)$ — отношение коэффициентов второй и первой вязкости; $\mathbf{g}_0 = \mathbf{g}/g$, $g = |\mathbf{g}|$, \mathbf{g} — ускорение силы тяжести; диссипативная функция Φ определяется равенством

$$\Phi = \xi(\operatorname{div} \mathbf{V})^2 + 2D : D,$$

где D — тензор скоростей деформации.

Для того чтобы получить в дальнейшем разложения только по малому параметру сжимаемости, полагаем $\varepsilon_1 = \alpha_1 \delta$, $\varepsilon_2 = \alpha_2 \delta$, $\alpha_i = O(1)$ ($i = 1, 2$) при $\delta \rightarrow 0$. Тогда уравнение (4) запишется в следующем виде:

$$\frac{1 + \delta p}{1 + \varepsilon T} \frac{dT}{dt} - \delta \frac{\alpha_2 + \varepsilon \alpha_1 T}{1 + \varepsilon T} \frac{dp}{dt} = \Delta T + \delta \alpha_1 \Phi. \quad (5)$$

Таким образом, искомой системой уравнений для неизвестных функций \mathbf{V} , p , T будут уравнения (2), (3), (5). Заметим, что уравнения микроконвекции изотермически несжимаемой жидкости получаются из этих уравнений в предположении $\delta = 0$.

В [5] проводится анализ критериев подобия задачи и характерных величин процесса, в том числе характерных времен. При построении модели конвекции, справедливой в условиях микрогравитации, выбираются характерные внутренние времена t_* (время релаксации температуры) и $t_\nu = l^2/\nu$ (время релаксации вязких напряжений), которые одного порядка при $\text{Pr} \sim 1$, а также характерное время t_f (время изменения функций, определяющих граничный тепловой режим). Условие $\text{Pr} \sim 1$ определяет достаточно широкий класс жидкостей, а введение отношения $\zeta = t_*/t_f$ в граничные температурные условия позволяет рассмотреть ситуации, когда эти характерные времена сильно различаются.

Асимптотическое разложение решения системы (2)–(5) строится по параметру сжимаемости $\delta \rightarrow 0$ и при условии, что ε , Pr , $\bar{\xi}$, η , α_1 , α_2 сохраняют конечные значения. Решение системы (2)–(5) ищется в виде формальных степенных рядов

$$\mathbf{V} = \sum_{k=0}^{\infty} \delta^k \mathbf{V}^{(k)}(x, t), \quad T = \sum_{k=0}^{\infty} \delta^k T^{(k)}(x, t), \quad p = \frac{P(t) - 1}{\delta} + \sum_{k=0}^{\infty} \delta^k p^{(k)}(x, t). \quad (6)$$

Функция p имеет сингулярную составляющую при $\delta \rightarrow 0$, а величину $(P(t) - 1)/\delta$ отождествляют со средним по области Ω давлением жидкости. Если стенки полости неподвижны и непроницаемы, то масса заключенной в ней жидкости сохраняется. При отличном от нуля суммарном тепловом потоке через границу и конечном изменении вследствие этого средней по области температуры наблюдается (в соответствии с уравнением состояния (1)) изменение среднего давления на величину порядка δ^{-1} при $\delta \rightarrow 0$. Главные члены разложений (6) удовлетворяют в области течения Ω системе уравнений

$$\frac{P}{1 + \varepsilon T^{(0)}} (\mathbf{V}_t^{(0)} + \mathbf{V}^{(0)} \cdot \nabla \mathbf{V}^{(0)}) = \text{Pr} [\nabla (-p^{(0)} + \bar{\xi} \text{div } \mathbf{V}^{(0)}) + \Delta \mathbf{V}^{(0)}] + \frac{\eta \text{Pr } P}{1 + \varepsilon T^{(0)}} \mathbf{g}_0; \quad (7)$$

$$\frac{\dot{P}}{P} - \frac{\varepsilon}{1 + \varepsilon T^{(0)}} (T_t^{(0)} + \mathbf{V}^{(0)} \cdot \nabla T^{(0)}) + \text{div } \mathbf{V}^{(0)} = 0; \quad (8)$$

$$\frac{P}{1 + \varepsilon T^{(0)}} (T_t^{(0)} + \mathbf{V}^{(0)} \cdot \nabla T^{(0)}) - \dot{P} \frac{\alpha_2 + \varepsilon \alpha_1 T^{(0)}}{1 + \varepsilon T^{(0)}} = \Delta T^{(0)}, \quad (9)$$

которые называются уравнениями конвекции слабо сжимаемой жидкости. При этом $\dot{P} = dP(t)/dt$.

Начально-краевая задача для системы (7)–(9) формулируется следующим образом. Рассматриваются условия прилипания для вектора скорости

$$\mathbf{V}^{(0)} = 0, \quad x \in \Sigma, \quad t > 0$$

и условия второго рода для температуры, задающие поток тепла на границе области Σ

$$\frac{\partial T^{(0)}}{\partial n} = f(x, \zeta t), \quad x \in \Sigma, \quad t > 0. \quad (10)$$

В начальный момент времени задаются вектор скорости и температура:

$$\mathbf{V}^{(0)} = \mathbf{V}_0(x), \quad T^{(0)} = T_0(x), \quad x \in \Omega, \quad t = 0.$$

Функция $P(t)$ удовлетворяет уравнению

$$\dot{P} \int_{\Omega} \left[1 - \frac{\varepsilon(\alpha_2 + \varepsilon \alpha_1 T^{(0)})}{1 + \varepsilon T^{(0)}} \right] dx = \varepsilon \int_{\Sigma} f d\Sigma$$

и начальному условию

$$P(0) = 1.$$

Заметим, что в предельном случае при $\varepsilon = 0$ уравнения (7)–(9) превращаются в уравнения Навье — Стокса несжимаемой жидкости.

Корректность сформулированной начально-краевой задачи исследуется в [5], где показывается, что построенное приближенное решение может рассматриваться как аппроксимация порядка $O(\delta)$ при $\delta \rightarrow 0$ решения соответствующей начально-краевой задачи для исходной системы (2)–(5) при $t \geq 1$. Формальная асимптотика (6) не работает на малых временах, но для уравнений (2)–(5) может быть осуществлена линейаризация вблизи состояния изотермического равновесия. Так возникает линейная модель переходного процесса (см. [5]). Асимптотическое решение линейной задачи переходного процесса не имеет поточечного предела при $\delta \rightarrow 0$, но может быть рассмотрено в качестве главного члена внутреннего разложения линейаризованных уравнений движения (2)–(5), описывающего начальный этап конвекции. Переходный процесс сопровождается распространением

нелинейных акустических волн высокой частоты. Подчеркнем, что высокочастотные акустические колебания “отфильтрованы” в результирующих уравнениях модели слабо сжимаемой жидкости, они учитываются лишь на начальном этапе движения. Характеристика осцилляций, их локализация изучаются в [5].

Процедура “фильтрации звука” осуществлялась и в работах [8–11]. В [12, 13] рассмотрена модель сплошной среды, применимая для существенно дозвуковых течений, и гидродинамическое приближение с “фильтрацией акустики” используется для описания околоскритических явлений. Следует назвать также монографию [14], где рассматриваются слабо сжимаемые жидкости как жидкости с малыми числом Буссинеска и параметром сжимаемости, выступающими множителями в уравнении состояния при температуре и давлении соответственно. В [14] проведено математическое моделирование, носящее асимптотически обобщающий характер для классической модели Обербека — Буссинеска, и исследованы разрешимость некоторых осесимметрических и общих трехмерных задач, а также вопросы устойчивости решений.

2. Точные решения уравнений конвекции слабо сжимаемой жидкости в бесконечной полосе. Замечено, что уравнения конвекции слабо сжимаемой жидкости допускают группу с прибавлением к давлению произвольной функции времени. Рассмотрим систему уравнений (7)–(9) для главных членов разложений $\mathbf{V}^{(0)}, T^{(0)}, p^{(0)}$, при этом индекс 0 будем опускать. Построим решения этих уравнений, инвариантные относительно оператора $\partial/\partial y + \varphi(t)\partial/\partial p$, где $\varphi(t)$ — произвольная функция времени. Построение проведем подобно тому, как это было сделано в [1, 2].

Обозначим через x, y, z декартовы координаты в пространстве. Пусть система координат выбрана так, что $\mathbf{g}_0 = (0, -1, 0)$, а жидкость заполняет слой $|x| \leq 1$, на твердых границах которого задан тепловой поток согласно (10). Пусть величина теплового потока не зависит от z . Инвариантные решения должны иметь следующий вид:

$$\mathbf{V} = (u, v), \quad u = u(x, t), \quad v = v(x, t), \quad T = T(x, t), \quad p = \varphi(t)y + r(x, t).$$

Тогда система уравнений (7)–(9) преобразуется к виду

$$\frac{\dot{P}}{P} - \frac{\varepsilon}{1 + \varepsilon T} (T_t + uT_x) + u_x = 0; \tag{11}$$

$$\frac{P}{1 + \varepsilon T} (u_t + uu_x) = \text{Pr} (-r_x + \bar{\xi} u_{xx}); \tag{12}$$

$$\frac{P}{1 + \varepsilon T} (v_t + uv_x) = \text{Pr} \left(-\varphi + v_{xx} - \frac{\eta}{1 + \varepsilon T} \right); \tag{13}$$

$$\frac{P}{1 + \varepsilon T} (T_t + uT_x) - \dot{P} \frac{\alpha_2 + \varepsilon \alpha_1 T}{1 + \varepsilon T} = T_{xx}. \tag{14}$$

Здесь $\bar{\xi} = \bar{\xi} + 1$. Будем предполагать, что функции u, v, \dot{P} — это функции порядка числа Буссинеска ε , а температура T — функция порядка 1, т. е. $u = \varepsilon U(x, t), v = \varepsilon V(x, t), \dot{P} = \varepsilon f(t)$. Другими словами, разложения функций u, v в ряды по степеням малого параметра ε начинаются с членов первого порядка U и V , а функций T, P — с членов нулевого порядка T^0 и 1 соответственно. Тогда следствием уравнения (11) является соотношение

$$f(t) - T_t^0 + U_x = 0,$$

а следствием уравнения переноса тепла (14) — соотношение

$$T_t^0 = T_{xx}^0, \tag{15}$$

и, значит,

$$U_x = T_{xx}^0 - f(t)$$

или

$$U = T_x^0 - xf(t) + b(t).$$

Так как согласно условиям прилипания $U(1, t) = U(-1, t) = 0$, рассмотрим сначала случай, когда

$$T_x^0(-1, t) = a_-(t), \quad T_x^0(1, t) = a_+(t), \quad a_-(t) = a_+(t) = a(t).$$

В этом случае $f = 0$, что соответствует условию нулевого суммарного теплового потока (см. ситуацию, описанную в [1, 3, 15]).

Пусть теперь $a_-(t) = -a_+(t) = a(t)$. Тогда $b = 0$ и

$$U = T_x^0 - xf(t); \tag{16}$$

$$T_x^0(-1, t) = a(t), \quad T_x^0(1, t) = -a(t), \tag{17}$$

при этом, например, $a(t) = \mathcal{A} \sin \omega t$.

Итак, T^0 есть решения уравнения (15) в области $|x| \leq 1$, $t \in [0, t_{end}]$, при этом на границе выполняется условие (17), а в начальный момент времени может быть задано следующее начальное условие:

$$T^0(x, 0) = T_0(x), \quad |x| \leq 1. \tag{18}$$

Функция U определяется из (16). Заметим, что вследствие (17) $f(t) = -a(t)$. Уравнение (12) определяет теперь функцию $r(x, t)$ с точностью до произвольной функции времени:

$$r_x = -U_t / \text{Pr} + \bar{\xi} U_{xx}.$$

В уравнение (13) для определения функции $V(x, t)$ входит функция $\varphi(t)$, для нахождения которой пользуются условием нулевого расхода жидкости через любое поперечное сечение полосы вида $y = \text{const}$ (см. [1, 2]). Для этого условие $\int_{-1}^1 \rho v dx = 0$ проинтегрируем по t и воспользуемся уравнениями (11), (13), а также уравнением состояния $\rho = P(t)/(1 + \varepsilon T)$ в рассматриваемой ситуации. Тогда

$$\rho_t v = \frac{\varepsilon P}{(1 + \varepsilon T)^2} T_x u v - \frac{P}{1 + \varepsilon T} u_x v,$$

$$\rho v_t = \frac{P}{1 + \varepsilon T} v_t = \text{Pr} \left[-\varphi + v_{xx} - \frac{\eta}{1 + \varepsilon T} \right] - \frac{P}{1 + \varepsilon T} u v_x,$$

и как следствие определим функцию

$$\varphi(t) = \frac{1}{2} [v_x(1, t) - v_x(-1, t)] - \frac{\eta}{2} \int_{-1}^1 \frac{dx}{1 + \varepsilon T^0}. \tag{19}$$

Теперь уравнение (13) с учетом (19) позволяет определить $V(x, t)$:

$$V_t = -\text{Pr} \tilde{\varphi} + \text{Pr} V_{xx} + \text{Pr} \eta T^0,$$

где

$$\tilde{\varphi} = \frac{1}{2} [V_x]_{-1}^1 + \frac{\eta}{2} \int_{-1}^1 T^0 dx,$$

а потому

$$V_t = \text{Pr} \left[-\frac{1}{2} [V_x(1, t) - V_x(-1, t)] + V_{xx} + \eta T^0 - \frac{\eta}{2} \int_{-1}^1 T^0 dx \right]. \quad (20)$$

Для этого уравнения рассмотрим следующие начальные и граничные условия:

$$V(x, 0) = V_0(x), \quad |x| \leq 1; \quad (21)$$

$$V(-1, t) = 0, \quad V(1, t) = 0, \quad t \in [0, t_{end}]. \quad (22)$$

Каждая из задач (15), (17), (18) и (20)–(22) решается методом Фурье. Рассмотрим периодические решения этих задач, когда начальные условия не задаются, граничные значения определены функцией $a(t) = \mathcal{A} \sin \omega t$, а функции T^0 и V имеют вид

$$T^0 = T_s(x) \sin \omega t + T_c(x) \cos \omega t; \quad (23)$$

$$V = V_s(x) \sin \omega t + V_c(x) \cos \omega t. \quad (24)$$

Затем по функциям U , V определяются компоненты безразмерной скорости $u = \varepsilon U(x, t)$, $v = \varepsilon V(x, t)$. При сравнении в дальнейшем с результатами классической модели Обербека — Буссинеска необходимо иметь в виду, что в инвариантном решении компонента скорости u постоянна в каждый момент времени (и может быть задана равной нулю с учетом удовлетворения начальному условию). Вторая же компонента скорости v будет определяться выписанными выше соотношениями.

2.1. *Решение задачи (15), (17), (18) для температуры.* Рассмотрим в бесконечной полосе $-1 \leq x \leq 1$ уравнение

$$T_t^0 = T_{xx}^0,$$

а на границе полосы — граничные условия, определяющие поток тепла в противофазе:

$$T_x^0(-1, t) = a(t), \quad T_x^0(1, t) = -a(t),$$

где $a(t) = \mathcal{A} \sin \omega t$. Поиск решения в виде (23) приводит нас к следующей задаче для T_c :

$$T_c^{(IV)} + \omega^2 T_c = 0; \quad (25)$$

$$T_c'(-1) = 0, \quad T_c'(1) = 0, \quad T_c'''(-1) = \omega \mathcal{A}, \quad T_c'''(1) = -\omega \mathcal{A}, \quad (26)$$

тогда как T_s определится через T_c в виде

$$T_s = T_c''/\omega$$

и для T_s будут выполнены граничные условия

$$T_s'(-1) = \mathcal{A}, \quad T_s'(1) = -\mathcal{A}.$$

Введем обозначения $\vartheta = \sqrt{\omega/2}$, $\varkappa = \sqrt{\omega/(2\text{Pr})}$, причем $\text{Pr} \neq 1$. Решение задачи (25), (26) приводит к линейной системе алгебраических уравнений вида

$$\begin{aligned} -DC_1 + CC_2 - BC_3 + AC_4 &= \mathcal{A}\omega/(2\vartheta^3), & DC_1 + CC_2 - BC_3 - AC_4 &= -\mathcal{A}\omega/(2\vartheta^3), \\ AC_1 + BC_2 + CC_3 + DC_4 &= 0, & -AC_1 + BC_2 + CC_3 - DC_4 &= 0. \end{aligned}$$

При этом коэффициенты системы определяются следующим образом:

$$\begin{aligned} A &= -\text{sh } \vartheta \cos \vartheta + \text{ch } \vartheta \sin \vartheta, & B &= \text{sh } \vartheta \sin \vartheta + \text{ch } \vartheta \cos \vartheta, \\ C &= \text{ch } \vartheta \cos \vartheta - \text{sh } \vartheta \sin \vartheta, & D &= -(\text{ch } \vartheta \sin \vartheta + \text{sh } \vartheta \cos \vartheta), \end{aligned} \quad (27)$$

а решением задачи (25), (26) является функция

$$T_c = C_1 \operatorname{ch} \vartheta x \cos \vartheta x + C_4 \operatorname{sh} \vartheta x \sin \vartheta x,$$

где

$$C_1 = \frac{\mathcal{A}\omega}{4\vartheta^3} \frac{\operatorname{ch} \vartheta \sin \vartheta + \operatorname{sh} \vartheta \cos \vartheta}{\operatorname{sh}^2 \vartheta \cos^2 \vartheta + \operatorname{ch}^2 \vartheta \sin^2 \vartheta}, \quad C_4 = \frac{\mathcal{A}\omega}{4\vartheta^3} \frac{-\operatorname{sh} \vartheta \cos \vartheta + \operatorname{ch} \vartheta \sin \vartheta}{\operatorname{sh}^2 \vartheta \cos^2 \vartheta + \operatorname{ch}^2 \vartheta \sin^2 \vartheta}. \quad (28)$$

Функция T_s имеет следующий вид:

$$T_s = (2\vartheta^2/\omega)[-C_1 \operatorname{sh} \vartheta x \sin \vartheta x + C_4 \operatorname{ch} \vartheta x \cos \vartheta x].$$

2.2. *Решение задачи (20)–(22) для скорости.* Рассмотрим задачу о нахождении периодического решения вида (24) для системы (20)–(22), которую перепишем для удобства следующим образом:

$$V_t = \operatorname{Pr} V_{xx} - \frac{\operatorname{Pr}}{2} [V_x(1, t) - V_x(-1, t)] - \frac{\operatorname{Pr} \eta}{2} \int_{-1}^1 T^0 dx + \operatorname{Pr} \eta T^0,$$

$$V(-1, t) = 0, \quad V(1, t) = 0, \quad t \in [0, t_{end}].$$

Функция V_c находится из решения неоднородного обыкновенного дифференциального уравнения

$$V_c^{(IV)} + \frac{\omega^2}{\operatorname{Pr}^2} V_c = \frac{1}{2} [V_c'''(1) - V_c'''(-1)] - \eta T_c'' + \frac{\eta\omega}{\operatorname{Pr}} T_s + \frac{\eta\omega}{2\operatorname{Pr}} I_1.$$

При этом функция V_s определяется из соотношения

$$V_s = \frac{\operatorname{Pr}}{\omega} V_c'' - \frac{\operatorname{Pr}}{2\omega} [V_c'(1) - V_c'(-1)] - \frac{\operatorname{Pr} \eta}{2\omega} I_2 + \frac{\operatorname{Pr} \eta}{\omega} T_c. \quad (29)$$

Здесь

$$I_1 = \int_{-1}^1 T_s(x) dx, \quad I_2 = \int_{-1}^1 T_c(x) dx.$$

Решение (29) выстраиваем как сумму общего решения однородного уравнения и частного, определяемого правой частью (29):

$$V_c = \bar{C}_1 \operatorname{ch} \alpha x \cos \alpha x + \bar{C}_2 \operatorname{ch} \alpha x \sin \alpha x + \bar{C}_3 \operatorname{sh} \alpha x \cos \alpha x + \bar{C}_4 \operatorname{sh} \alpha x \sin \alpha x + \tilde{V},$$

$$\tilde{V} = G_0 + G_1 \operatorname{sh} \vartheta x \sin \vartheta x + G_4 \operatorname{ch} \vartheta x \cos \vartheta x.$$

С учетом граничных условий

$$V_c(-1) = 0, \quad V_c(1) = 0, \quad V_s(-1) = 0, \quad V_s(1) = 0$$

коэффициенты $\bar{C}_1, \bar{C}_2, \bar{C}_3, \bar{C}_4$ определяются как решения линейной алгебраической системы

$$\begin{aligned} \tilde{A}\bar{C}_1 + \tilde{B}\bar{C}_2 + \tilde{C}\bar{C}_3 + \tilde{D}\bar{C}_4 &= \tilde{E}, & \tilde{A}\bar{C}_1 - \tilde{B}\bar{C}_2 - \tilde{C}\bar{C}_3 + \tilde{D}\bar{C}_4 &= \tilde{E}, \\ K\bar{C}_1 + L\bar{C}_2 + M\bar{C}_3 + N\bar{C}_4 &= F, & K\bar{C}_1 - L\bar{C}_2 - M\bar{C}_3 + N\bar{C}_4 &= F. \end{aligned} \quad (30)$$

Коэффициенты системы определяются следующим образом:

$$\begin{aligned} \tilde{A} &= \bar{A} + \bar{\Phi}_1, & \bar{A} &= \operatorname{ch} \alpha \cos \alpha, & \tilde{D} &= \bar{D} + \bar{\Phi}_4, & \bar{D} &= \operatorname{sh} \alpha \sin \alpha, \\ \tilde{B} &= \bar{B} = \operatorname{ch} \alpha \sin \alpha, & \tilde{C} &= \bar{C} = \operatorname{sh} \alpha \cos \alpha, & \tilde{E} &= -(\Phi_0 + G_1 \operatorname{sh} \vartheta \sin \vartheta + G_4 \operatorname{ch} \vartheta \cos \vartheta), \end{aligned}$$

$$\begin{aligned}
K &= -2\alpha^2 \bar{D} \frac{\text{Pr}}{\omega} - 2\alpha(\bar{C} - \bar{B}) \frac{\text{Pr}}{2\omega}, & L &= 2\alpha^2 \bar{C} \frac{\text{Pr}}{\omega}, \\
M &= -2\alpha^2 \bar{B} \frac{\text{Pr}}{\omega}, & N &= 2\alpha^2 \bar{A} \frac{\text{Pr}}{\omega} - 2\alpha(\bar{C} + \bar{B}) \frac{\text{Pr}}{2\omega}, \\
F &= \frac{\text{Pr} \eta}{2\omega} I_2 - \frac{\text{Pr} \eta}{\omega} (C_1 \bar{\Phi}_c + C_4 \bar{\Phi}_s) - \frac{\text{Pr}}{2\omega} 2\vartheta(G_1 D + G_4 A) - \frac{\text{Pr}}{\omega} 2\vartheta^2(G_1 \bar{\Phi}_c - G_4 \bar{\Phi}_s).
\end{aligned}$$

Коэффициенты A, D вычисляются по формулам (27), C_1, C_4 — по формулам (28). Здесь вычислены

$$\begin{aligned}
I_1 &= \frac{2\vartheta}{\omega} (C_4 - C_1) \text{ch } \vartheta \sin \vartheta + \frac{2\vartheta}{\omega} (C_4 + C_1) \text{sh } \vartheta \cos \vartheta, \\
I_2 &= \frac{1}{\vartheta} (C_1 + C_4) \text{ch } \vartheta \sin \vartheta + \frac{1}{\vartheta} (C_1 - C_4) \text{sh } \vartheta \cos \vartheta,
\end{aligned}$$

а для удобства записи введены обозначения

$$\begin{aligned}
\Phi_0 &= \frac{\eta\omega}{8 \text{Pr} \alpha^4} I_1, & \bar{\Phi}_1 &= \frac{\Phi_1}{4\alpha^4}, & \bar{\Phi}_4 &= \frac{\Phi_4}{4\alpha^4}, & \bar{\Phi}_c &= \text{ch } \vartheta \cos \vartheta, & \bar{\Phi}_s &= \text{sh } \vartheta \sin \vartheta, \\
\Phi_1 &= -4\alpha^3 (\text{ch } \alpha \sin \alpha + \text{sh } \alpha \cos \alpha)/2, & \Phi_4 &= -4\alpha^3 (\text{sh } \alpha \cos \alpha - \text{ch } \alpha \sin \alpha)/2, \\
G_0 &= \Phi_0 + \bar{\Phi}_1 \bar{C}_1 + \bar{\Phi}_4 \bar{C}_4, & G_1 &= F_1/(4(\alpha^4 - \vartheta^4)), & G_4 &= F_4/(4(\alpha^4 - \vartheta^4)), \\
F_1 &= 2\eta\vartheta^2 C_1 - \frac{\eta\omega}{\text{Pr}} \frac{2\vartheta^2}{\omega} C_1, & F_4 &= -2\eta\vartheta^2 C_4 + \frac{\eta\omega}{\text{Pr}} \frac{2\vartheta^2}{\omega} C_4.
\end{aligned}$$

Решение системы (30) имеет вид

$$\bar{C}_1 = \bar{\Delta}_1/\bar{\Delta}, \quad \bar{C}_4 = \bar{\Delta}_4/\bar{\Delta}, \quad \bar{C}_2 = \bar{C}_3 = 0,$$

где знаменатель определяется следующим образом:

$$\bar{\Delta} = (\bar{A} + \bar{\Phi}_1) \left(2\alpha^2 \bar{A} \frac{\text{Pr}}{\omega} - 2\alpha(\bar{C} + \bar{B}) \frac{\text{Pr}}{2\omega} \right) - \left(-2\alpha^2 \bar{D} \frac{\text{Pr}}{\omega} - 2\alpha(\bar{C} - \bar{B}) \frac{\text{Pr}}{2\omega} \right) (\bar{D} + \bar{\Phi}_4),$$

а числители записываются так:

$$\begin{aligned}
\bar{\Delta}_1 &= -(\Phi_0 + G_1 \text{sh } \vartheta \sin \vartheta + G_4 \text{ch } \vartheta \cos \vartheta) \left(2\alpha^2 \bar{A} \frac{\text{Pr}}{\omega} - 2\alpha(\bar{C} + \bar{B}) \frac{\text{Pr}}{2\omega} \right) - \\
&- \left(\frac{\text{Pr} \eta}{2\omega} I_2 - \frac{\text{Pr} \eta}{\omega} (C_1 \bar{\Phi}_c + C_4 \bar{\Phi}_s) - \frac{\text{Pr}}{2\omega} 2\vartheta(G_1 D + G_4 A) - \frac{\text{Pr}}{\omega} 2\vartheta^2(G_1 \bar{\Phi}_c - G_4 \bar{\Phi}_s) \right) (\bar{D} + \bar{\Phi}_4), \\
\bar{\Delta}_4 &= (\bar{A} + \bar{\Phi}_1) \left(\frac{\text{Pr} \eta}{2\omega} I_2 - \frac{\text{Pr} \eta}{\omega} (C_1 \bar{\Phi}_c + C_4 \bar{\Phi}_s) - \frac{\text{Pr}}{2\omega} 2\vartheta(G_1 D + G_4 A) - \frac{\text{Pr}}{\omega} 2\vartheta^2(G_1 \bar{\Phi}_c - G_4 \bar{\Phi}_s) \right) - \\
&- \left(2\alpha^2 \bar{D} \frac{\text{Pr}}{\omega} + 2\alpha(\bar{C} - \bar{B}) \frac{\text{Pr}}{2\omega} \right) (\Phi_0 + G_1 \text{sh } \vartheta \sin \vartheta + G_4 \text{ch } \vartheta \cos \vartheta),
\end{aligned}$$

и, значит,

$$\begin{aligned}
V_c(x) &= \bar{C}_1 \text{ch } \alpha x \cos \alpha x + \bar{C}_4 \text{sh } \alpha x \sin \alpha x + \tilde{V}(x), \\
\tilde{V}(x) &= G_0 + G_1 \text{sh } \vartheta x \sin \vartheta x + G_4 \text{ch } \vartheta x \cos \vartheta x.
\end{aligned}$$

Для функции V_s имеет место выражение

$$\begin{aligned}
V_s(x) &= \text{Pr} [-2\bar{C}_1 \alpha^2 \text{sh } \alpha x \sin \alpha x + 2\bar{C}_4 \alpha^2 \text{ch } \alpha x \cos \alpha x + \\
&\quad + 2\vartheta^2(G_1 \text{ch } \vartheta x \cos \vartheta x - G_4 \text{sh } \vartheta x \sin \vartheta x)]/\omega - \\
&- \text{Pr} [2\alpha\bar{C}_1(\bar{C} - \bar{B}) + 2\alpha\bar{C}_4(\bar{C} + \bar{B}) - 2\vartheta(G_1 D + G_4 A)]/(2\omega) - \text{Pr} \eta I_2/(2\omega) + \\
&\quad + \text{Pr} \eta [C_1 \text{ch } \vartheta x \cos \vartheta x + C_4 \text{sh } \vartheta x \sin \vartheta x]/\omega.
\end{aligned}$$

Таким образом, определены функции V_c и V_s и вместе с ними $V(x, t)$ вида (24).

Заметим, что в реальных ситуациях значения числа Буссинеска ε малы. Проведенный анализ линеаризованной задачи вполне оправдан, поскольку ее решение дает главный член асимптотики при $\varepsilon \rightarrow 0$ (см. в [15] аналогичное обоснование для модели микроконвекции).

3. Расчет траекторий. Компоненты физической (размерной) скорости определяются как $v_1 = v_*u$, $v_2 = v_*v$, где $u = \varepsilon U$, $v = \varepsilon V$, $v_* = \chi/l$, а для U , V используются формулы (16), (24). Зная функции v_1 , v_2 , можно рассчитать траектории жидких частиц. Для этого следует решить задачу Коши

$$\frac{dx}{dt} = v_1(x, t), \quad \frac{dy}{dt} = v_2(x, t), \quad t > 0, \quad x(0) = x_0, \quad y(0) = 0. \quad (31)$$

Заметим, что при построении траекторий жидких частиц по модели Обербека — Буссинеска следует взять $v_1 = 0$, в то время как выражение для v_2 не меняется.

Целью работы является определение траектории жидких частиц по результатам расчетов с использованием модели конвекции слабо сжимаемой жидкости. Отличия от результатов, предписываемых классической моделью конвекции, позволяют сделать вывод о наличии небуссинесковских эффектов и приводят к обоснованию целесообразности использования новых математических моделей конвекции. Кроме того, ставится задача сравнения результатов с теми, что получаются с использованием модели микроконвекции изотермически несжимаемой жидкости. Постановка начально-краевой задачи для уравнений микроконвекции с необходимостью предполагает задание на границе теплового потока при условии, что интегральный поток тепла равен нулю. В случае задачи о конвекции теплопроводной жидкости в бесконечной полосе это проявляется в том, что граничный тепловой режим изменяется в фазе, т. е. происходит нагрев одной боковой границы и одновременное охлаждение другой. Рассмотрение периодического во времени потока тепла на границе, изменяющегося в противофазе, стало возможным при моделировании конвекции в условиях микрогравитации благодаря новой математической модели конвекции слабо сжимаемой жидкости.

Проекция интегральных кривых системы (31) на плоскость (x, y) , рассчитанные по модели микроконвекции при значениях параметров $\varepsilon = 0,01; 0,02$ и $\omega = 0,5; 2$ (c^{-1}), приведены в [1, 2] и демонстрируют спиралеобразное (основной виток — эллипс) периодическое движение жидкой частицы. Как отмечено в [1], анализ поведения траекторий представляется делом весьма трудоемким ввиду многообразия безразмерных параметров, от которых зависит решение задачи Коши (31). Однако можно предположить, что в условиях применимости модели микроконвекции и при использовании в тех же условиях модели конвекции слабо сжимаемой жидкости интенсивность периодического движения и дрейфа частицы определяется прежде всего значениями угловой частоты ω , параметром Буссинеска ε и, конечно, положением точки (x_0, y_0) относительно боковых границ области. Эти предположения подтверждены в [15].

Основные параметры задачи приводятся в таблице и условно представляются тремя моделями жидких сред и физических ситуаций, различающихся значениями Pr , η , g , аналогично тому, как было рассмотрено в [15]. При этом характерные скорости, числа Рейнольдса и времена процесса также различны. Для демонстрации траекторий, развивающихся во времени достаточно сложно, выбираются значения $\varepsilon = 0,5; 0,02$ и $\omega = 0,5; 5$. При этом значение $\varepsilon = 0,5$ выбирается для того, чтобы показать наиболее важную для

Вариант расчета	Pr	η	ε	ν , cm^2/c	χ , cm^2/c	g , cm/c^2	β , $град^{-1}$	ω , c^{-1}
1	0,75	1	0,01; 0,5	0,15	0,2	0,03	0,0003	0,5; 2,5; 5
2	0,01	0,4	0,01; 0,5	0,015	1,5	0,009	0,0006	0,5; 2,5; 5
3	0,1	0,4	0,02; 0,5	0,15	1,5	0,09	0,0006	0,5; 5

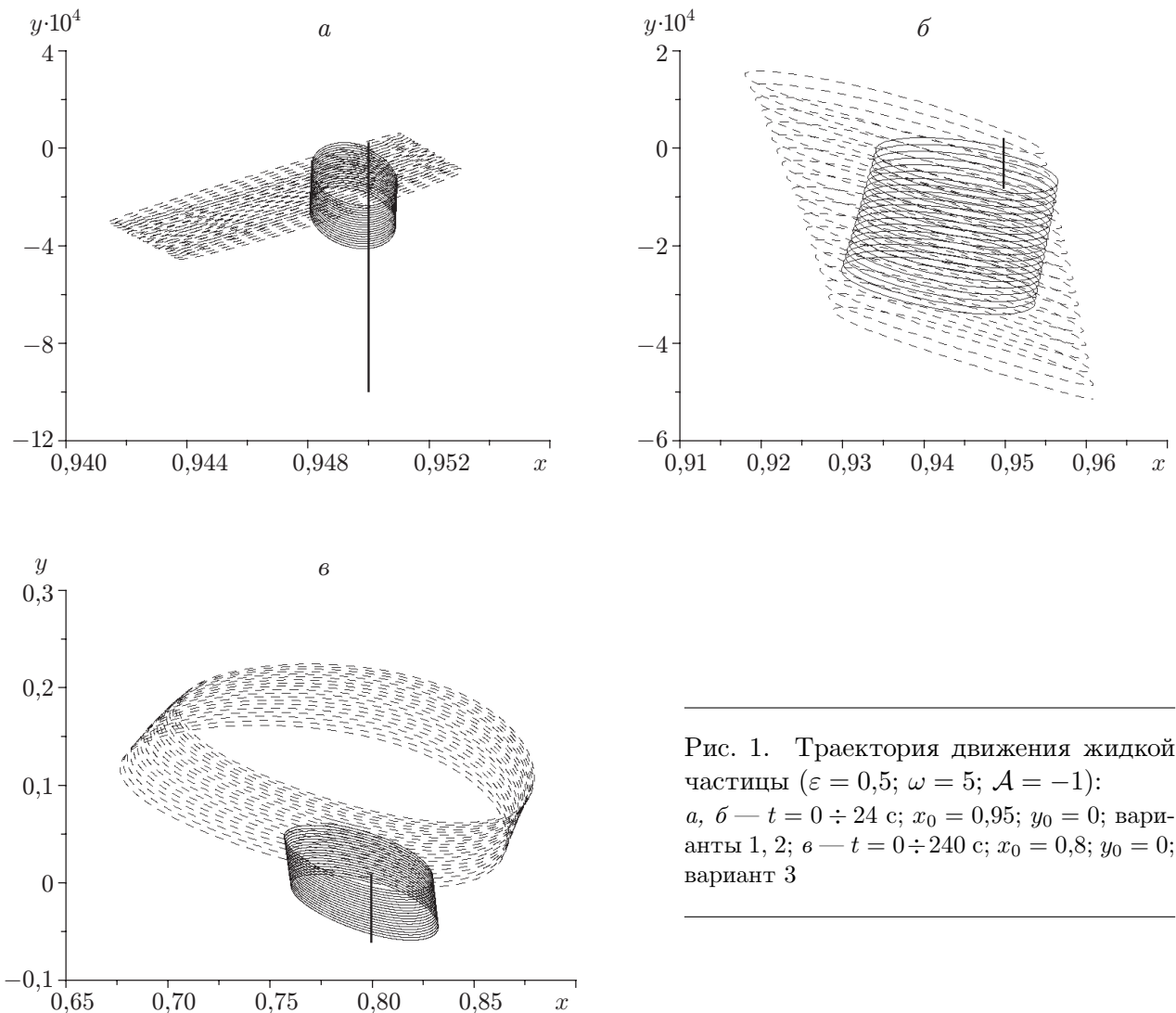


Рис. 1. Траектория движения жидкой частицы ($\varepsilon = 0,5$; $\omega = 5$; $\mathcal{A} = -1$):
 а, б — $t = 0 \div 24$ с; $x_0 = 0,95$; $y_0 = 0$; варианты 1, 2; в — $t = 0 \div 240$ с; $x_0 = 0,8$; $y_0 = 0$; вариант 3

развития траектории зависимость от числа Буссинеска и для демонстрации ярких по наглядности результатов.

Расчеты проведены при $\mathcal{A} = -1$ (см. граничное условие (17)), что определяет нагрев правой грани $x = 1$ как в модели микроконвекции, так и в модели конвекции слабо сжимаемой жидкости. Это позволяет наиболее просто провести сравнение с результатами, изложенными в [1, 2, 15]. На рис. 1, а, б, в для вариантов 1, 2, 3 соответственно представлены траектории жидких частиц, рассчитанные по трем моделям конвекции. При этом траектории, рассчитанные по классической модели Обербека — Буссинеска, показаны отрезками вертикальных прямых, а траектории, рассчитанные по модели микроконвекции, представляют собой спиралеобразное движение. Они отмечены штриховой линией. Траектории, рассчитанные согласно модели конвекции слабо сжимаемой жидкости, являются по типу тоже спиралеобразными и отмечены сплошной линией. На рис. 1, а, б для $\varepsilon = 0,5$, $\omega = 5$ представлены траектории движения жидкой частицы на промежутке времени $[0, 24$ с], которая в начальный момент времени $t = 0$ находится в точке $x_0 = 0,95$, $y_0 = 0$. На рис. 1, в для значений $\varepsilon = 0,5$, $\omega = 0,5$ представлены траектории движения жидкой частицы на промежутке времени $[0, 240$ с]. В начальный момент времени $t = 0$ частица находилась

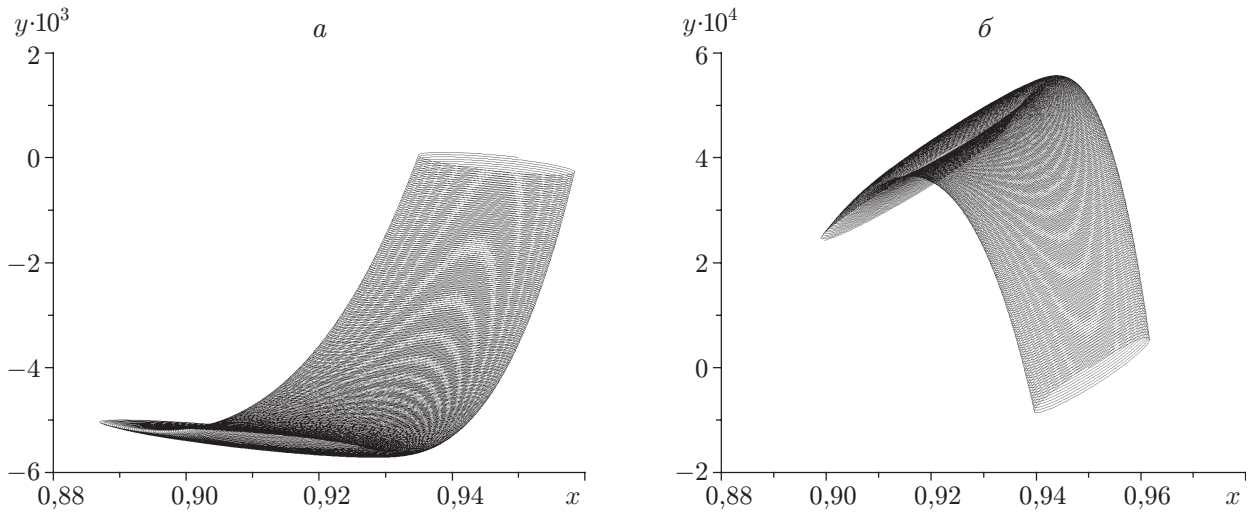


Рис. 2. Траектория движения жидкой частицы:
 $t = 0 \div 600$ с; $x_0 = 0,95$; $y_0 = 0$; вариант 2; $\varepsilon = 0,5$; $\omega = 5$; $\mathcal{A} = -1$ (а), $\mathcal{A} = 1$ (б)

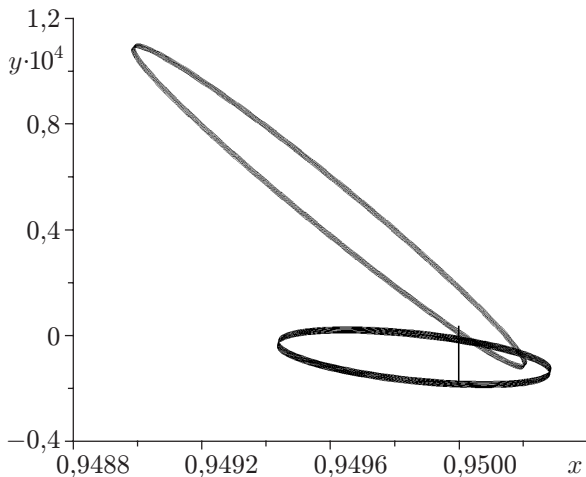


Рис. 3. Траектория движения жидкой частицы:
 $t = 0 \div 24$ с; $x_0 = 0,95$; $y_0 = 0$; вариант 3;
 $\varepsilon = 0,02$; $\omega = 5$; $\mathcal{A} = -1$

в точке $x_0 = 0,8$, $y_0 = 0$. Модели Обербека — Буссинеска соответствует движение по вертикальному отрезку прямой $x = 0,95$ (рис. 1, а, б) или $x = 0,8$ (рис. 1, в).

На рис. 2 представлены результаты расчета для варианта 2 при $\varepsilon = 0,5$, $\omega = 2,5$, при этом жидкая частица в начальный момент времени находится в точке $(0,95, 0)$. Дрейф частицы прослеживается на промежутке времени $[0, 600]$ с. На этих рисунках показано сложное спиралеобразное движение согласно модели конвекции слабо сжимаемой жидкости. На рис. 2, б представлена траектория частицы в случае $\mathcal{A} = 1$ (см. условие (17)), что соответствует охлаждению правой грани $x = 1$. Для сравнения с моделью микроконвекции следует сказать, что при расчете для модели слабо сжимаемой жидкости меняется направление дрейфа частицы, в то время как для модели микроконвекции направление дрейфа частицы не изменится (см. рис. 2, а: движение вниз меняется на движение вверх).

На рис. 3 представлены траектории, рассчитанные для варианта 3 на промежутке времени $[0, 24]$ с при $\varepsilon = 0,02$, $\omega = 5$. Жидкая частица находится в начальный момент времени в точке $(0,95, 0)$. Сравнивая траектории, заметим, что согласно модели микроконвекции получается спиралеобразная траектория большего диаметра, чем при расчете по модели слабо сжимаемой жидкости.

Все расчеты проводились до конечного времени $t_{end} = 2400$ с. Задача Коши для системы обыкновенных дифференциальных уравнений (31) исследовалась численно методом Рунге — Кутты [16].

Автор выражает искреннюю благодарность В. В. Пухначеву за обсуждение постановки задачи и результатов исследования.

ЛИТЕРАТУРА

1. **Андреев В. К., Капцов О. В., Пухначев В. В., Родионов А. А.** Применение теоретико-групповых методов в гидродинамике. Новосибирск: Наука. Сиб. отд-ние, 1994.
2. **Andreev V. K., Kaprtsov O. V., Pukhnachov V. V., Rodionov A. A.** Applications of group-theoretical methods in hydrodynamics. Dordrecht; Boston; London: Kluwer Acad. Publ., 1998.
3. **Джозеф Д.** Устойчивость движений жидкости. М.: Мир, 1981.
4. **Юдович В. И.** Конвекция изотермически несжимаемой жидкости / Рост. гос. ун-т. Ростов-на-Дону, 1999. Деп. в ВИНТИ 28.05.99, № 1699-B99.
5. **Пухначев В. В.** Иерархия моделей в теории конвекции // Зап. С.-Петерб. отд-ния мат. ин-та им. В. А. Стеклова. 2003. Вып. 288. С. 152–177.
6. **Гончарова О. Н.** Микроконвекция в слабых силовых полях. Сравнение двух моделей при численном исследовании // ПМТФ. 1997. Т. 38, № 2. С. 58–63.
7. **Гончарова О. Н.** Численное исследование микроконвекции в длинном прямоугольнике // Вычисл. технологии. 2000. Т. 5, № 5. С. 26–37.
8. **Paolucci S.** On the filtering of sound from the Navier — Stokes equations // Sandia Nat. Lab. Rep. SAND 82. Dec. 1982.
9. **Chenoweth D. R., Paolucci S.** Natural convection in an enclosed vertical air layer with large horizontal temperature differences // J. Fluid Mech. 1986. V. 169. P. 173–210.
10. **Никулин Д. А., Стрелец М. Х.** Численное моделирование нестационарной естественной конвекции сжимаемого газа в замкнутой неadiaбатической области // Теплофизика высоких температур. 1984. Т. 22, № 5. С. 906–912.
11. **Лапин Ю. В., Стрелец М. Х.** Внутренние течения газовых смесей. М.: Наука, 1989.
12. **Соболева Е. Б.** Моделирование естественной конвекции на основе уравнений Навье — Стокса в приближении дозвукового течения. М., 1997. (Препр. / Ин-т пробл. механики РАН; № 602).
13. **Соболева Е. Б., Крюков И. А.** Моделирование околокритических явлений в гидродинамическом приближении с “фильтрацией звука”. М., 1998. (Препр. / Ин-т пробл. механики РАН; № 624).
14. **Мосеенков В. Б.** Качественные методы исследования задач конвекции вязкой слабо сжимаемой жидкости. Киев: Наукове видання, 1998.
15. **Гончарова О. Н.** Точные решения линеаризованных уравнений микроконвекции в бесконечной полосе // VII Рос. симпозиум “Механика невесомости. Итоги и перспективы фундаментальных исследований гравитационно-чувствительных систем”, Москва, 11–14 апр. 2000 г. М.: Ин-т пробл. механики РАН, 2001. С. 78–85.
16. **Калиткин Н. Н.** Численные методы. М.: Наука, 1978.

Поступила в редакцию 2/VI 2004 г.